

Fig. 2-6-03 Gd-DTPA 糖錯体の分子モデル

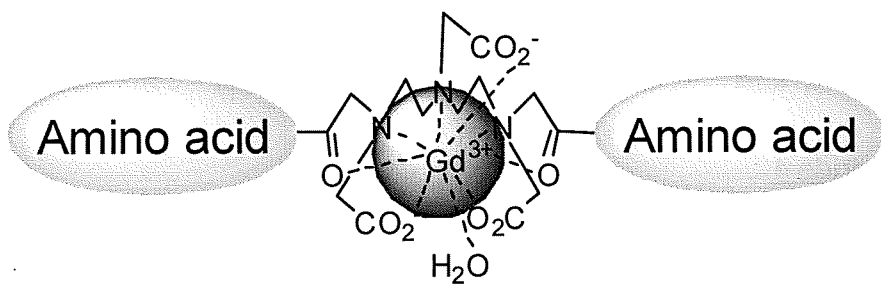


Fig. 2-6-04 Gd-DTPA アミノ酸錯体の分子モデル

2-6-2 結果と考察

デンドリマー分子は、末端 (Terminal) 部、コア (Core) 部に分割したデンドリマーパーツをそれぞれ合成し、それらを分子表面から分子中央部へと順次結合させていくコンバージェント法を用いて合成した。また、コア部である DTPA に対して糖やアミノ酸等からなる末端部を反応させることで合成したリガンドへのガドリニウムのキレーションにも成功し、優れた撮像能力を有する新規 MRI 造影剤である Gd-DTPA 糖錯体および Gd-DTPA アミノ酸錯体の合成を達成した。

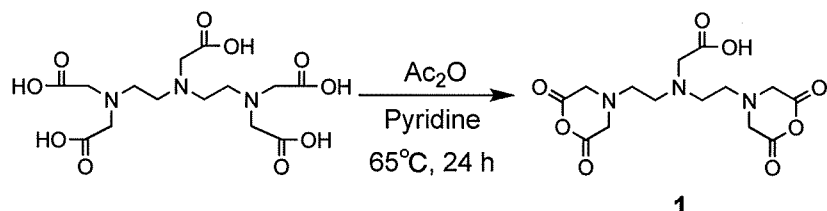
以下にそれぞれの項目の詳細について述べる。

2-6-2-1 コア (Core) 部の合成

コア部は DTPA であるが、他のカルボン酸誘導体に比べて反応性が劣る、5 個のカルボキシル基を有しているため反応点が限定できない等の問題点があった。

このことから、コア部はアミノ基との反応性の向上および反応点を限定するため、DTPA の脱水反応を行ない DTPA 二無水物へと誘導した。これにより、5 個のカルボキシル基のうち 4 個を環状酸無水物とし、残り 1 個のカルボキシル基を相対的に不活性基とし、反応点を 2 個に限定した。以下に反応の詳細について述べる。

DTPA dianhydride 1



Scheme 2-6-01 DTPA dianhydride 1

DTPA dianhydride 1 は DTPA をピリジン触媒下、65°C で無水酢酸と反応させることで得ることが出来ると報告されている⁴¹⁾。本研究でも、この合成方法と同様の方法で DTPA dianhydride 1 を粗収率 98% で合成した。この反応は求核アシル置換反応によるカルボキシル基のエステル化反応である。

以下に化合物 1 の IR スペクトル (Fig. 2-6-05)、¹³C-NMR スペクトル (Fig. 2-6-06) のデータを示す。

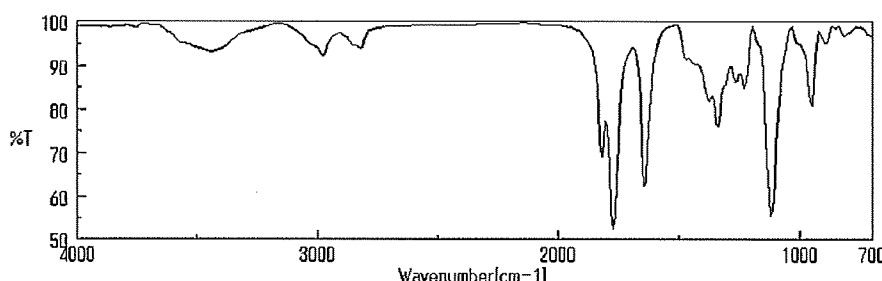


Fig. 2-6-05 化合物 1 の IR スペクトル

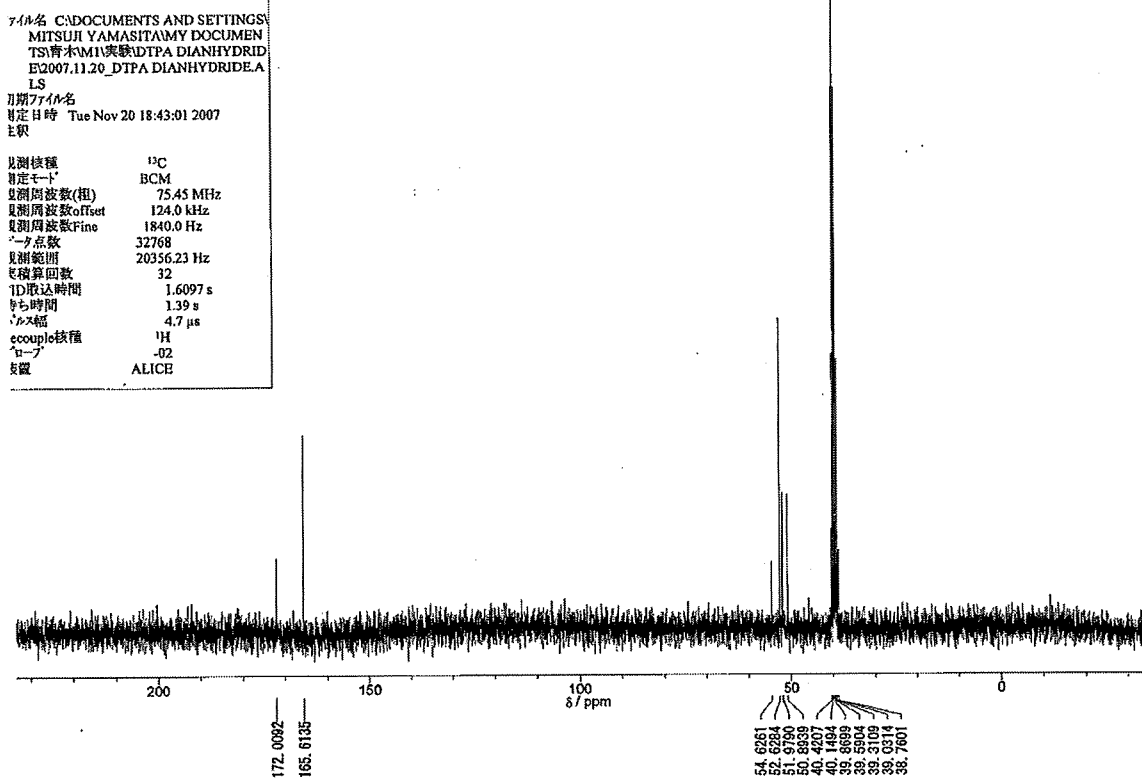


Fig. 2-6-06 化合物 1 の ¹³C-NMR スペクトル

Fig. 2-6-05 の IR スペクトルより 1820, 1774 cm⁻¹ に C=O 伸縮による吸収と 1118, 949 cm⁻¹ に C-O 伸縮による吸収を示すことからカルボン酸無水物の存在を、1643 cm⁻¹ に C=O 伸縮による吸収を示すことからカルボキシル基の存在をそれぞれ確認した。Fig. 2-6-06 の ¹³C-NMR スペクトルより 165.6 ppm に無水環のカルボニル炭素由来のピークを確認した。以上から化合物 1 の構造を同定した。

2-6-2-2 末端 (Terminal) 部の合成

末端部は糖とスペーサーから構成され、糖とスペーサーおよび DTPA とスペーサーと共にアミド結合により結合させるため、スペーサーはトリアミンを用いた^{42, 43)}。また、反応点を限定するために、糖はラクトン化したものとした^{42, 43)}。過去、目的に応じた末端部の合成方法が報告されている^{38, 39, 44)}。以下にそれぞれの合成方法の詳細について述べる。

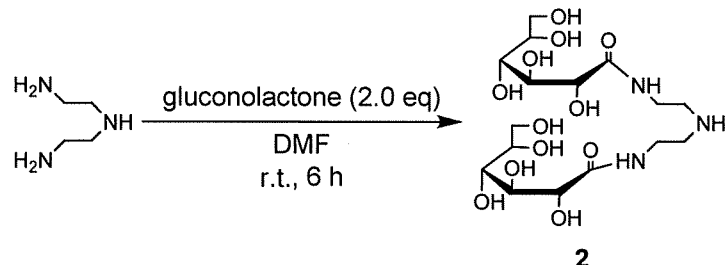
2-6-2-2-1 t-ブトキシカルボニル保護を用いた末端 (Terminal) 部の合成

デンドリマー合成の段階において末端部を構成する糖のヒドロキシル基による反応の複雑化を抑制するため、ヒドロキシル基を全てペーアセチル保護した。また、この反応において末端部を構成するスペーサーであるジエチレントリアミンの第 2 級アミンもペーアセチル保護されてしまい、コア部との反応点として働くなくなってしまわないよう、アセチル化の前段階としてアミノ基を t-ブトキシカルボニル (Boc) により

保護した。

合成経路は、糖とジエチレントリアミンとの求核反応、アミノ基の **Boc** 基による保護、糖のヒドロキシル基のアセチル化、**Boc** 基の脱保護の順とした。以下に各反応の詳細について述べる。

DETA-2Glc(OH) 2



Scheme 2-6-02 DETA-2Glc(OH) 2

DMF 中、ジエチレントリアミンと **D(+)**-グルコノ-1,5-ラクトンとの求核反応により DETA-2Glc(OH) **2** を粗収率 91%で合成した。この反応は **D(+)**-グルコノ-1,5-ラクトンのカルボニル炭素と求核試薬であるジエチレントリアミンによる求核アシル置換反応であり、ジエチレントリアミンに対して **D(+)**-グルコノ-1,5-ラクトンを 2 当量反応させることで、ジエチレントリアミンの第一級アミンに対して選択的に糖が導入された。また、生成物 **2** は DMF に溶解せず生成と同時に結晶となり析出してくるため、これを反応進行の目安とした。

通常のデンドリマー合成において、末端部とコア部の中間に位置するブランチ (Branch) 部を合成する途中の段階では基質の片方の反応部位を保護することによって反応点を制御していく方法が主流である^{45,46)}。しかし、ジエチレントリアミンの第一級アミンに対する選択的アミド化反応は不必要的反応点における保護・脱保護の過程を省略することが出来るため、一般的なデンドリマー合成において非常に利用価値の高い反応である。

以下に化合物 **2** の $^1\text{H-NMR}$ スペクトル (Fig. 2-6-07)、MS スペクトル (Fig. 2-6-08)、IR スペクトル (Fig. 2-6-09) のデータを示す。

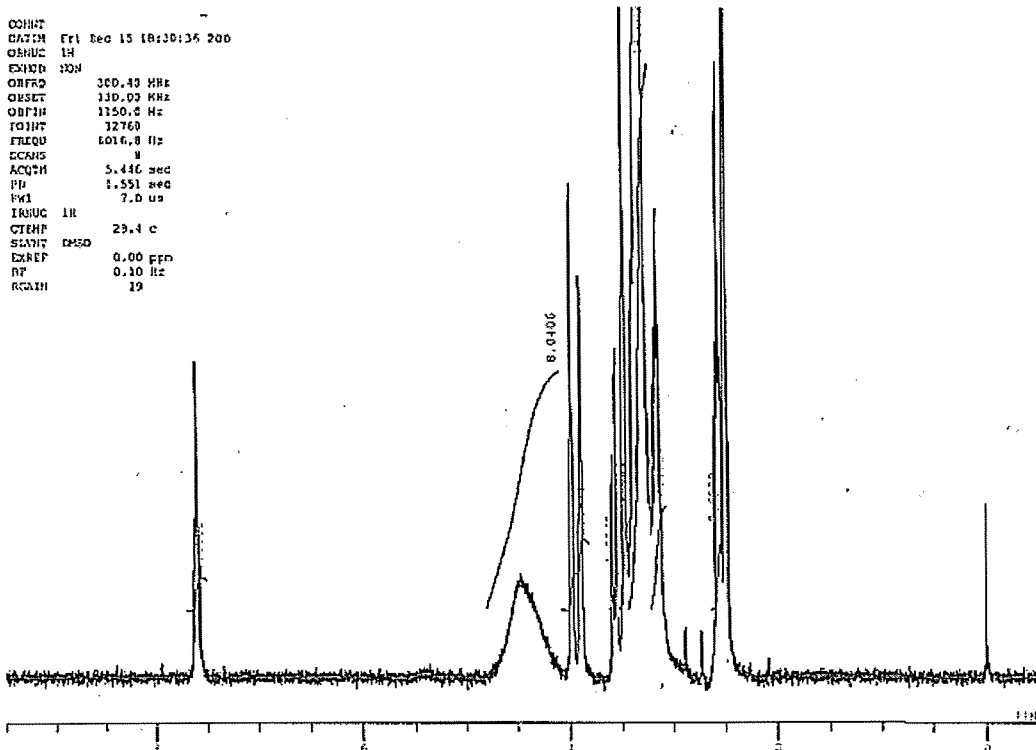


Fig. 2-6-07 化合物 2 の ^1H -NMR スペクトル

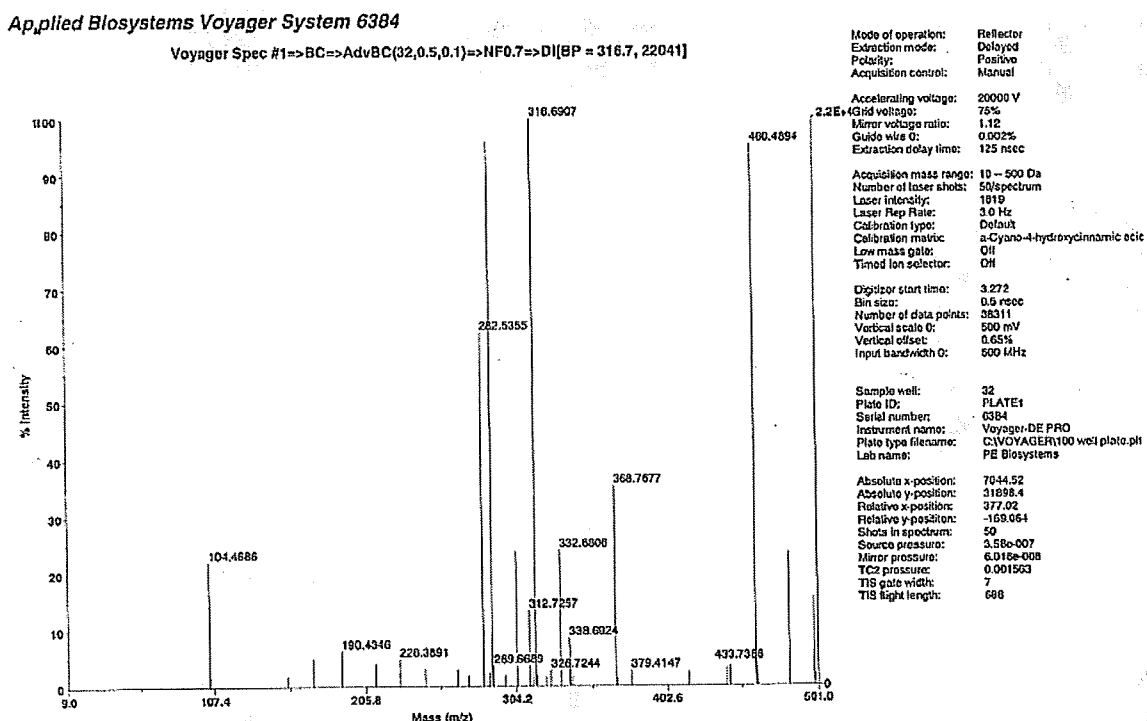


Fig. 2-6-08 化合物 2 の MS スペクトル

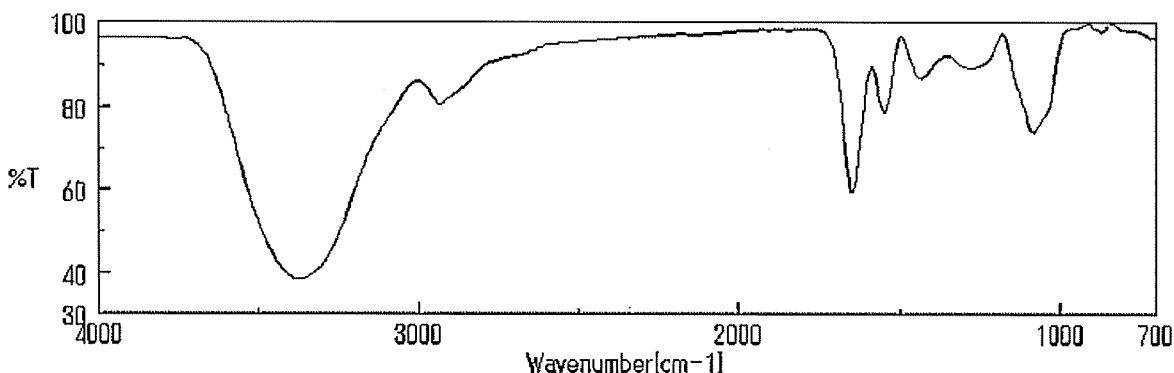
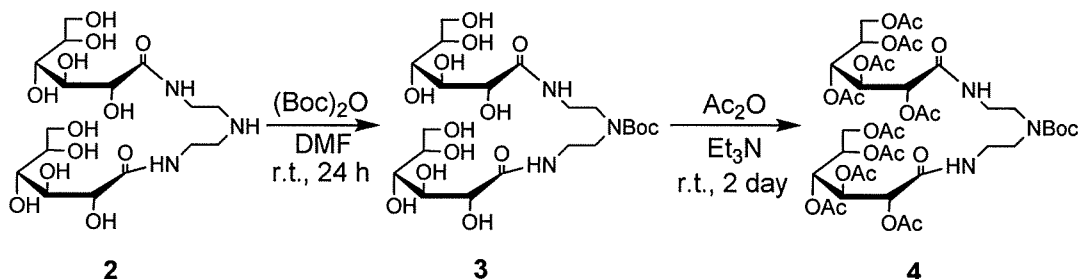


Fig. 2-6-09 化合物 2 の IR スペクトル

Fig. 2-6-07 の ¹H-NMR スペクトルより 4.43 ppm にヒドロキシル基由来のピークを確認し、そのプロトン数とメチンおよびメチレンのプロトン数を比較した。Fig. 2-6-08 の MS スペクトルより 460.49 [M+H]⁺ のピークを確認した。Fig. 2-6-09 の IR スペクトルより 3371 cm⁻¹ に O-H 伸縮による吸収を示すことからヒドロキシル基の存在を、1651 cm⁻¹ に C=O 伸縮による吸収と 1543 cm⁻¹ に N-H 変角による吸収を示すことからアミド基の存在をそれぞれ確認した。以上から化合物 2 の構造を同定した。

DETA-2Glc(OAc)-Boc 4



Scheme 2-6-03 DETA-2Glc(OAc)-Boc 4

DMF 中、DETA-2Glc(OH) 2 と二炭酸ジ-t-ブチル ((Boc)₂O) を反応させた後、トリエチルアミンを触媒として加え、さらに無水酢酸と反応させることで DETA-2Glc(OAc)-Boc 3 を收率 85% で合成した。一段階目の反応は化合物 2 の第二級アミンと二炭酸ジ-t-ブチルとの求核アシリル置換反応によるアミド化反応であり、二段階目の反応は化合物 2 のヒドロキシル基と無水酢酸との求核アシリル置換反応によるアセチル化反応である。これまでの研究において化合物 3 の単離精製を行わずに反応を進めても目的化合物 4 が高収率で得られる事がわかっているため、目的化合物 4 まで合成した後でシリカゲルカラムクロマトグラフィー (CHCl₃ : methanol = 15 : 1) による単離精製を行なった。

以下に化合物 4 の ¹H-NMR スペクトル (Fig. 2-6-10) のデータを示す。

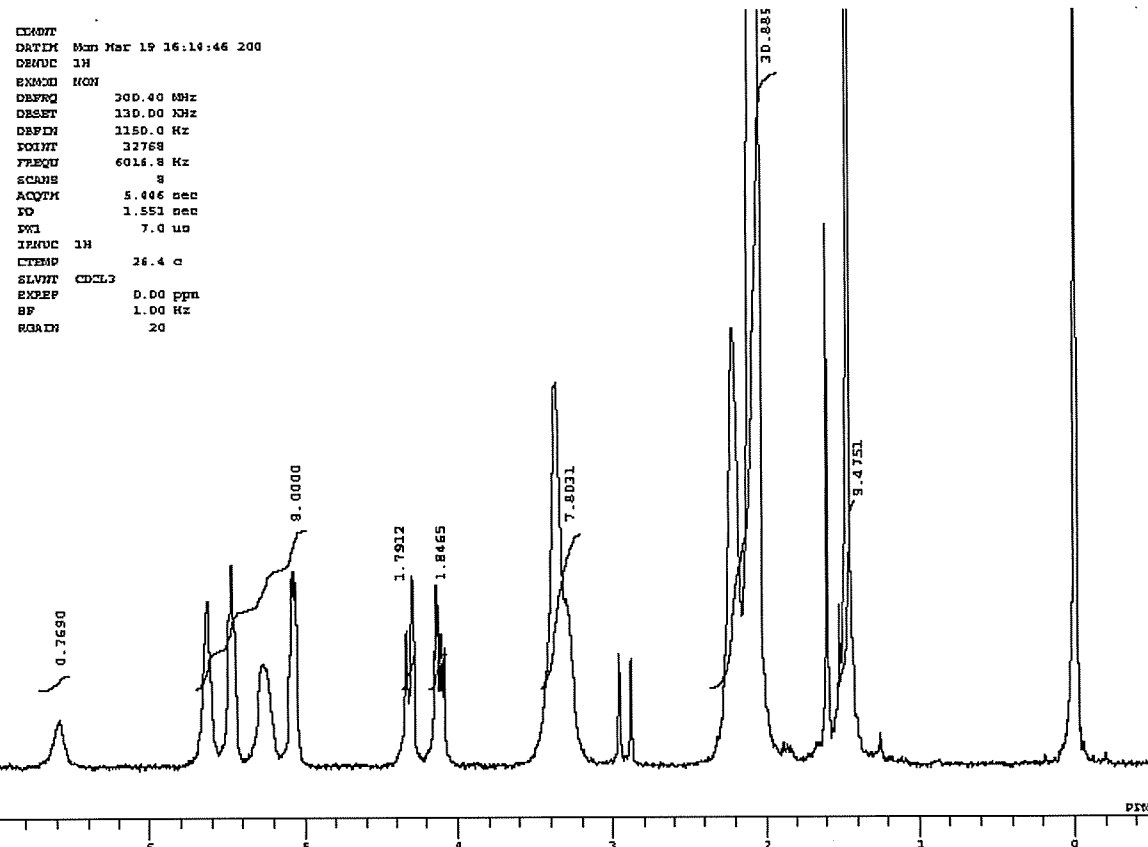
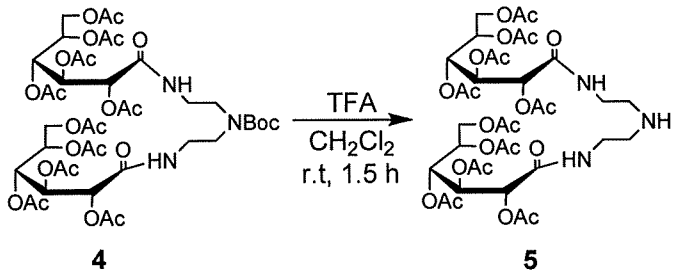


Fig. 2-6-10 化合物 4 の ¹H-NMR スペクトル

Fig. 2-6-10 の ¹H-NMR スペクトルより 1.47 ppm に Boc 基の t-Bu 由来のピーカーを、2.05-2.21 ppm にアセチル基由来のピーカーをそれぞれ確認し、それらのプロトン数とメチンおよびメチレンのプロトン数を比較することで、化合物 4 の構造を同定した。

DETA-2Glc(OAc) 5



Scheme 2-6-04 DETA-2Glc(OAc) 5

ジクロロメタン中、トリフルオロ酢酸を用いて DETA-2Glc(OAc)-Boc 4 の Boc 基の脱保護を行ない DETA-2Glc(OAc) 5 を収率 68%で合成した。Boc 基の脱保護は酸性条件下、短時間で行われることが知られており⁴⁷⁾、この反応では化合物 4 のアセチル基が外れない程度の強さの有機酸であるトリフルオロ酢酸を用いることで Boc 基のみを

選択的に脱離させた。化合物 **5** はシリカゲルカラムクロマトグラフィー (CHCl_3 : methanol = 15 : 1) による単離精製を行なった。

以下に化合物 **5** の $^1\text{H-NMR}$ スペクトル (Fig. 2-6-11)、MS スペクトル (Fig. 2-6-12) のデータを示す。

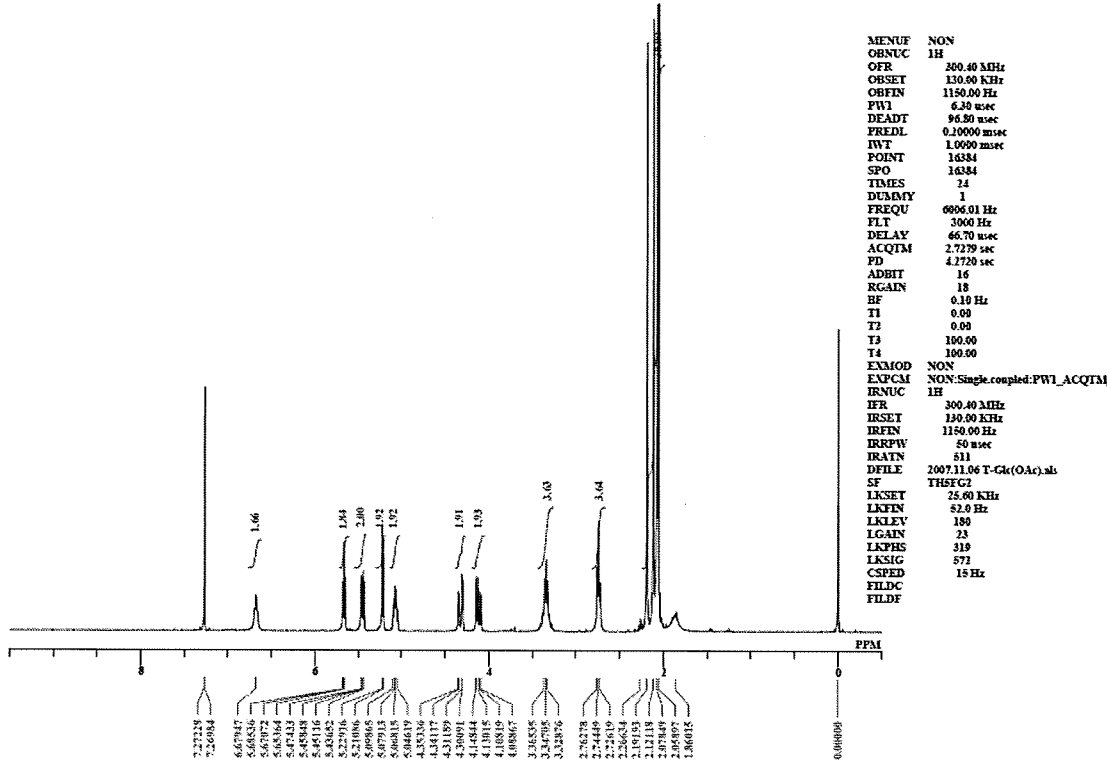


Fig. 2-6-11 化合物 **5** の $^1\text{H-NMR}$ スペクトル

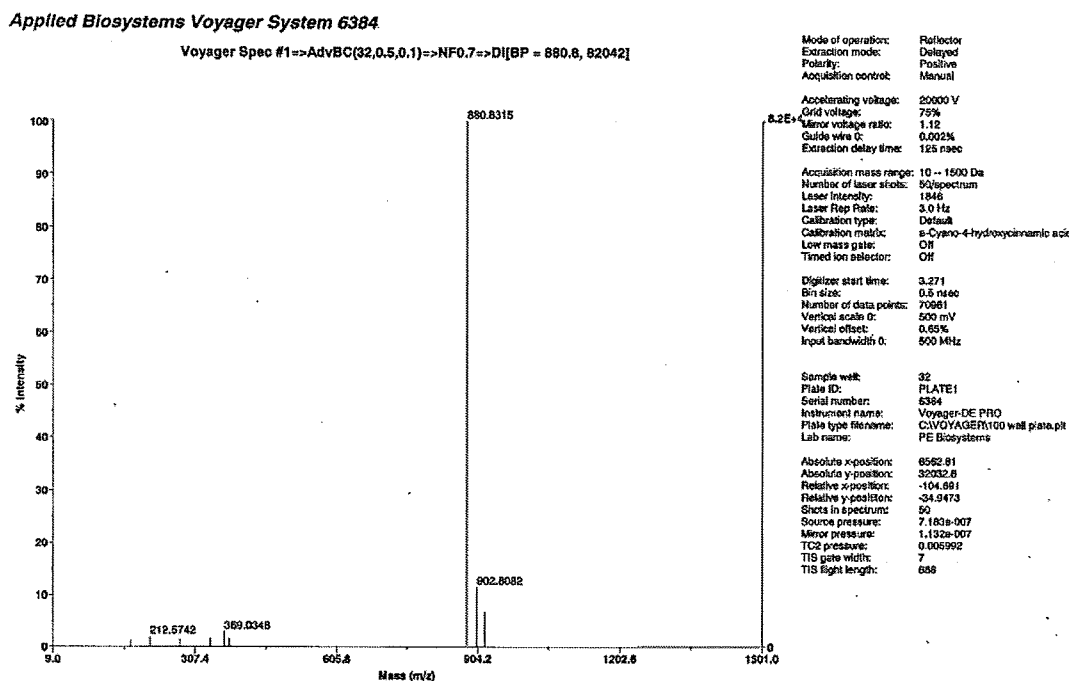


Fig. 2-6-12 化合物 **5** の MS スペクトル

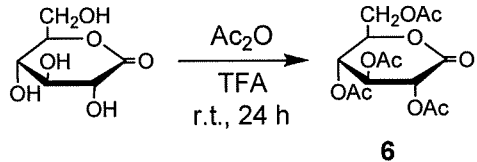
Fig. 2-6-11 の $^1\text{H-NMR}$ スペクトルより Boc 基の t-Bu 由来のピークが消滅していることから Boc 基は脱保護されたと考えられる。また、2.06-2.22 ppm にアセチル基由来のピークを確認し、そのプロトン数とメチンおよびメチレンのプロトン数を比較した。Fig. 2-6-12 の MS スペクトルより 880.04 [M+H] $^+$ のピークを確認した。以上から化合物 **5** の構造を同定した。

2-6-2-2-2 糖のアセチル化による末端 (Terminal) 部の合成

t-ブトキカルボニル基を用いて末端部を合成する方法ではアミノ基の保護および脱保護を含むため、反応が多段階において複雑であった。そこで、この 2 段階の反応を省略することを考えた。そのために、まず糖のヒドロキシル基を全てペアセチル保護し、次にアセチル化した糖誘導体とジエチレントリアミンとを反応させ末端部を合成した。この反応はジエチレントリアミンの第一級アミンに対する選択的アミド化反応と同じく、不必要的反応点における保護・脱保護の過程を省略することが出来るため一般的なデンドリマー合成において非常に利用価値の高い反応である。また、合成した末端部は既存のものとは異なり、糖が有する 5 個のヒドロキシル基のうち 4 個がアセチル化され、1 個のみヒドロキシル基のまま残った構造となっている。

合成経路は、糖のヒドロキシル基のアセチル化、糖誘導体とジエチレントリアミンとの反応の順とした。以下に各反応の詳細について述べる。

2,3,4,6-テトラ-O-アセチル-D(+)-グルコノ-1,5-ラクトン **6**



Scheme 2-6-05 2,3,4,6-テトラ-O-アセチル-D(+)-グルコノ-1,5-ラクトン **6**

2,3,4,6-テトラ-O-アセチル-D(+)-グルコノ-1,5-ラクトン **6** は D(+)-グルコノ-1,5-ラクトンをトリフルオロ酢酸触媒下、無水酢酸と反応させることで得ることが出来ると報告されている⁴⁸⁾。本研究でも、この合成方法と同様の方法で化合物 **6** を収率 83% で合成した。しかし、参考文献⁴⁷⁾においてこの化合物の精製は行われていなかったので、本研究ではシリカゲルカラムクロマトグラフィー (CHCl_3 : methanol = 20 : 1) による単離精製を行なった。この反応は、D(+)-グルコノ-1,5-ラクトンのヒドロキシル基と無水酢酸との求核アシル置換反応によるヒドロキシル基のアセチル化反応である。この反応において、D(+)-グルコノ-1,5-ラクトンは無水酢酸に溶解しないが生成物は溶解するため、反応溶液の濁りがなくなることを反応進行の目安とした。

以下に化合物 **6** の $^1\text{H-NMR}$ スペクトル (Fig. 2-6-13)、IR スペクトル (Fig. 2-6-14) のデータを示す。

```

DMDAT
DATIM Tue Feb 13 16:29:06 200
DENUC 1H
EXMOD NCM
DFRQ 300.40 MHz
DESET 130.00 kHz
DEFIN 1150.0 Hz
POINT 32768
FREQU 6016.8 Hz
SCANS 9
ACQPR 5.446 sec
TD 1.551 sec
DW 7.0 us
IRNUC 1H
CTEMP 28.0 c
SLVNT CDCl3
EXPRT 0.00 ppm
RF 0.10 Hz
PGAIN 17

```

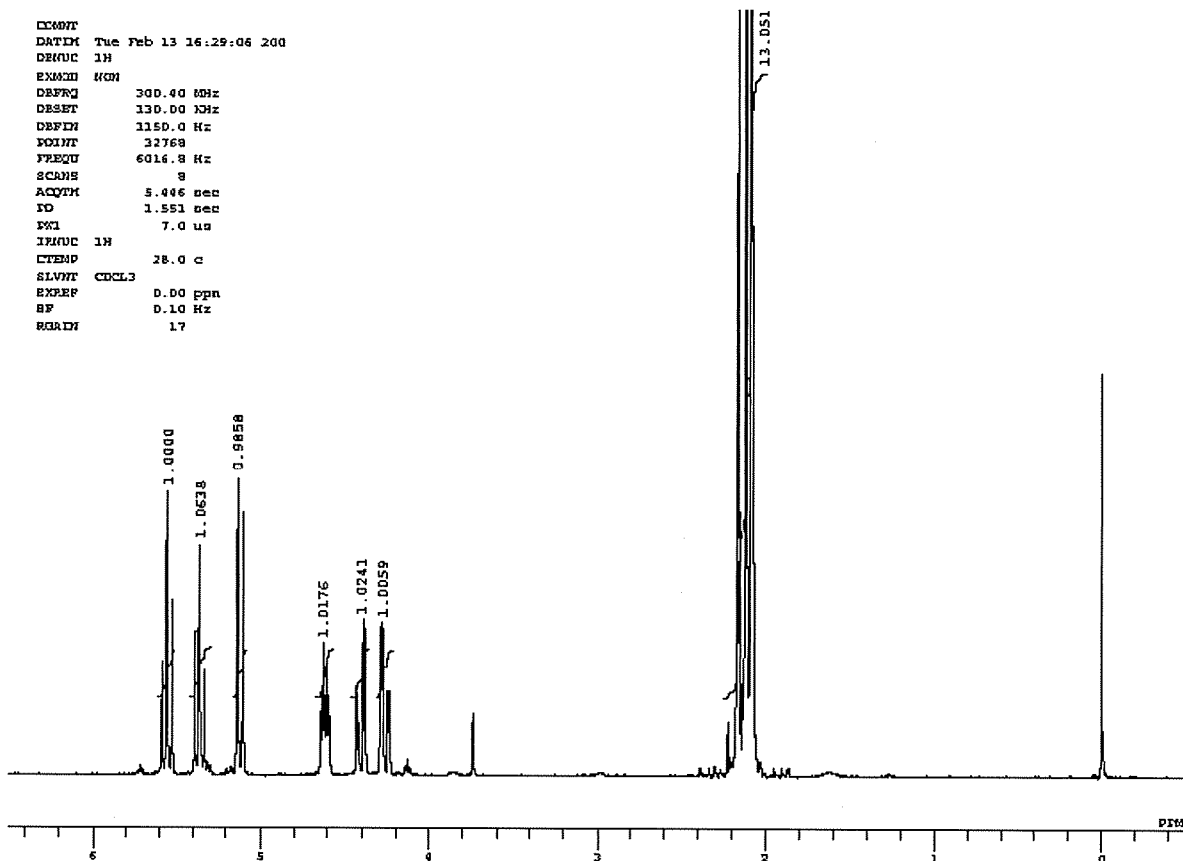


Fig. 2-6-13 化合物 6 の ^1H -NMR スペクトル

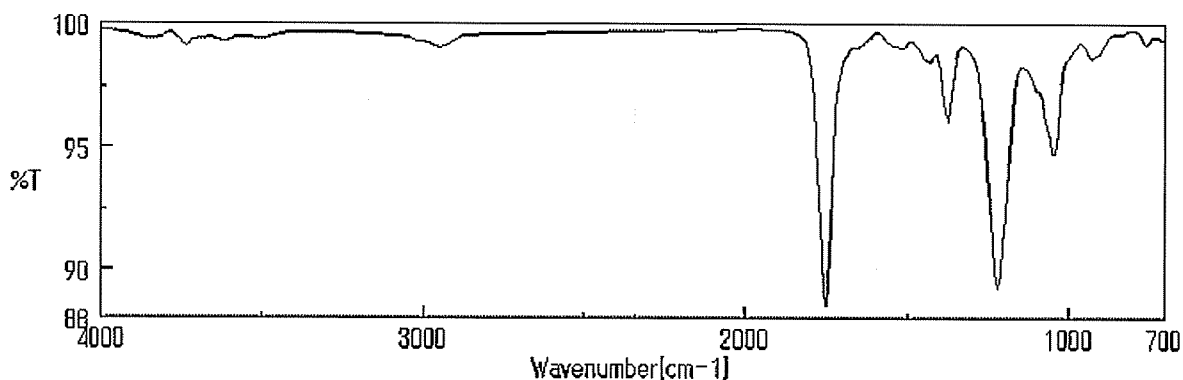
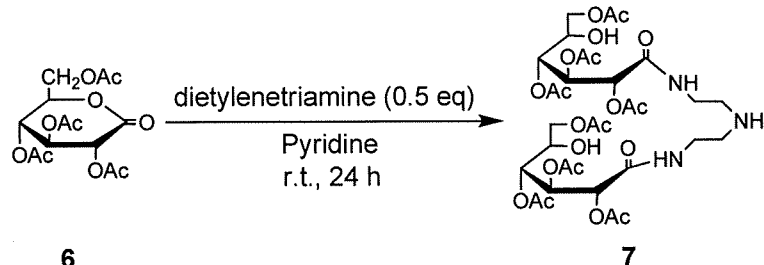


Fig. 2-6-14 化合物 6 の IR スペクトル

Fig. 2-6-13 の ^1H -NMR スペクトルより 2.09-2.22 ppm にアセチル基由来のピークを確認し、そのプロトン数とメチンおよびメチレンのプロトン数を比較した。Fig. 2-6-14 の IR スペクトルより 1751 cm^{-1} に C=O 伸縮による吸収と 1218 cm^{-1} に C-O 伸縮による吸収を示すことからエステルの存在を確認した。また、O-H 伸縮による吸収を示していないことからヒドロキシル基はすべてアセチル化されたと考えられる。以上から化合物 6 の構造を同定した。

DETA-2Glc(4OAc)(1OH) 7



Scheme 2-6-06 DETA-2Glc(4OAc)(1OH)

ピリジン中、ジエチレントリアミンと 2,3,4,6-テトラ-O-アセチル-D(+)-グルコノ-1,5-ラクトン **6** との求核反応により化合物 **7** を粗収率 90%で合成した。この反応は化合物 **6** のカルボニル炭素と求核試薬であるジエチレントリアミンによる求核アシル置換反応であり、ジエチレントリアミンに対して化合物 **6** を 2 当量反応させることで、ジエチレントリアミンの第一級アミンに対して選択的に糖が導入された。合成した末端部は既存のものとは異なり、糖が有する 5 個のヒドロキシル基のうち 4 個がアセチル化され、1 個のみヒドロキシル基のまま残った構造となっており、シリカゲルカラムクロマトグラフィーに吸着してしまうためこれによる単離精製が出来なかった。そのため、デンドリマー分子まで誘導し、そこで再結晶による単離精製を行なうこととした。

以下に化合物 **7** の $^1\text{H-NMR}$ スペクトル (Fig. 2-6-15)、MS スペクトル (Fig. 2-6-16)、IR スペクトル (Fig. 2-6-17) のデータを示す。

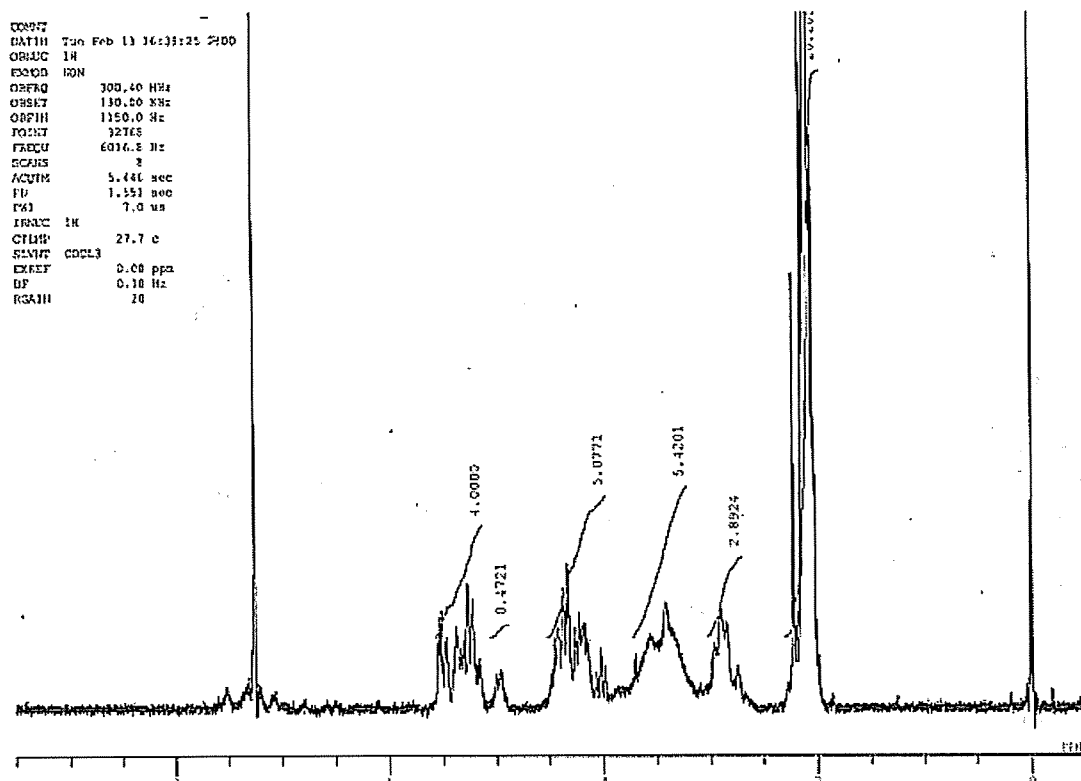


Fig. 2-6-15 化合物 **7** の $^1\text{H-NMR}$ スペクトル

Applied Biosystems Voyager System 6384

Voyager Spec #1=>BC=>AdvBC(32,0.5,0.1)=>NF0.7=>DI[BP = 796.4, 94802]

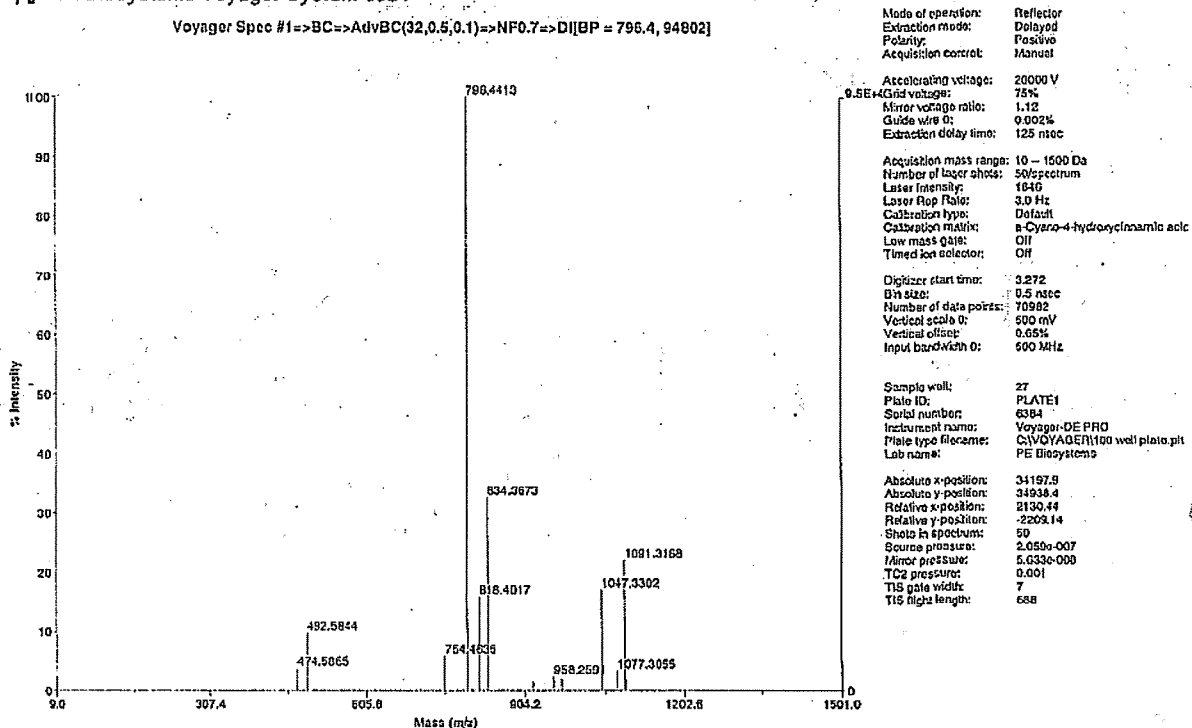


Fig. 2-6-16 化合物 7 の NMS スペクトル

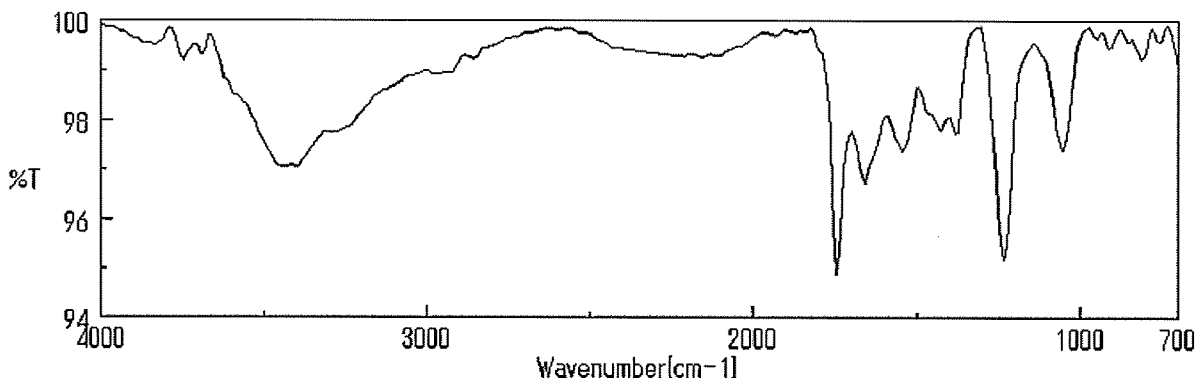


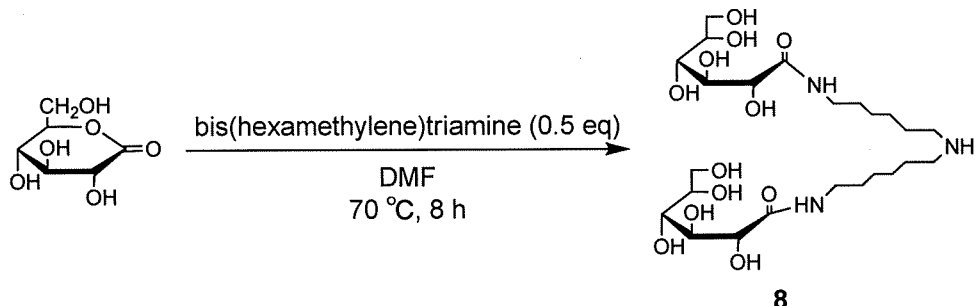
Fig. 2-6-17 化合物 7 の IR スペクトル

Fig. 2-6-15 の ¹H-NMR スペクトルより 2.07-2.23 ppm にアセチル基由来のピークを、2.74-3.70 ppm にヒドロキシル基由来のピークをそれぞれ確認し、それらのプロトン数とメチンおよびメチレンのプロトン数を比較した。ここで、ヒドロキシル基由来のピークは D₂O 置換することで確認した。Fig. 2-6-16 の MS スペクトルより 796.44 [M+H]⁺ のピークを確認した。Fig. 2-6-17 の IR スペクトルより 3463 cm⁻¹ に O-H 伸縮による吸収を示すことからヒドロキシル基の存在を、1743 cm⁻¹ に C=O 伸縮による吸収と 1234 cm⁻¹ に C-O 伸縮による吸収を示すことからエステルの存在を、1658 cm⁻¹ に C=O 伸縮による吸収と 1542 cm⁻¹ に N-H 変角による吸収を示すことからアミド基の存在をそれぞれ確認した。以上から化合物 7 の構造を同定した。

2-6-2-2-3 炭素数の多いスペーサーを用いた末端 (Terminal) 部の合成

糖とコア部である DTPA との距離の増加が緩和率や組織特異性などへ及ぼす影響を検討するため、ジエチレントリアミンに比べて炭素数の多いヘキサメチレントリアミンをスペーサーとして用いた末端部を合成した。以下に反応の詳細について述べる。

HMTA-2Glc(OH) 8



Scheme 2-6-07 HMTA-2Glc(OH) 8

DMF 中、70°C でヘキサメチレントリアミンと D(+) - グルコノ - 1,5 - ラクトンとの求核反応により HMTA-2Glc(OH) 8 を粗収率 75% で合成した。この反応は D(+) - グルコノ - 1,5 - ラクトンのカルボニル炭素と求核試薬であるヘキサメチレントリアミンによる求核アシル置換反応であり、ヘキサメチレントリアミンに対して D(+) - グルコノ - 1,5 - ラクトンを 2 当量反応させることで、ヘキサメチレントリアミンの第一級アミンに対して選択的に糖が導入された。また、生成物 8 は DMF に溶解せず生成と同時に結晶となり析出してくるため、これを反応進行の目安とした。

以下に化合物 8 の $^1\text{H-NMR}$ スペクトル (Fig. 2-6-18)、MS スペクトル (Fig. 2-6-19) のデータを示す。

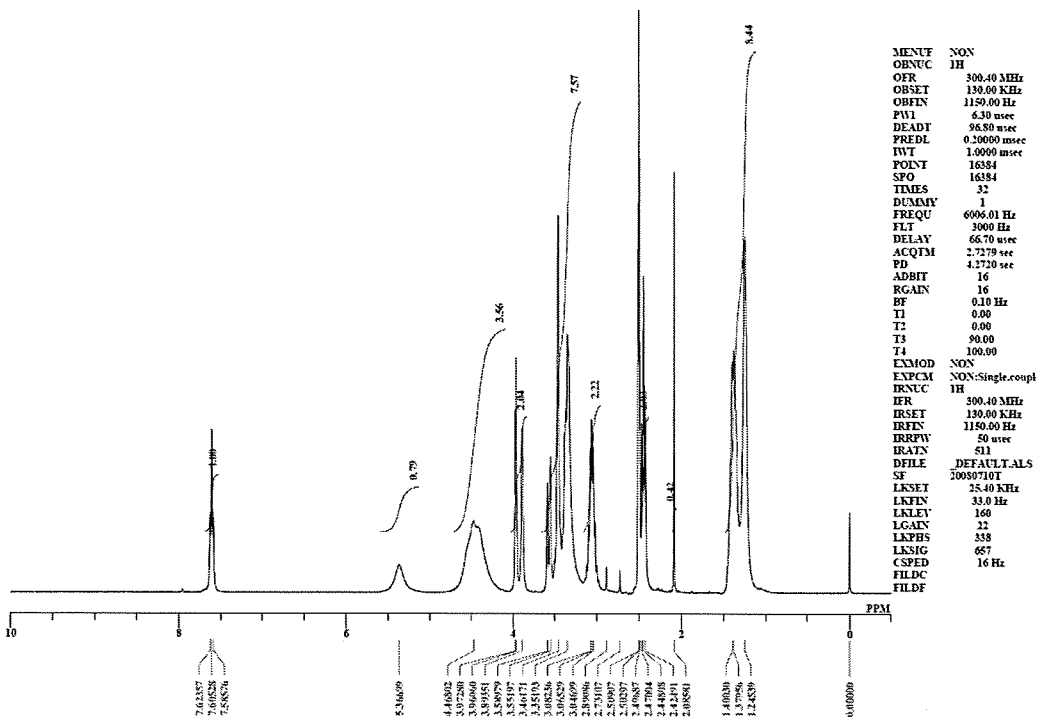


Fig. 2-6-18 化合物 8 の ^1H -NMR スペクトル

Applied Biosystems Voyager System 6384

Voyager Spec #1=>BC=>AdvBC(32,0.5,0.1)=>NF0.7=>D|[BP = 573.1, 124841]

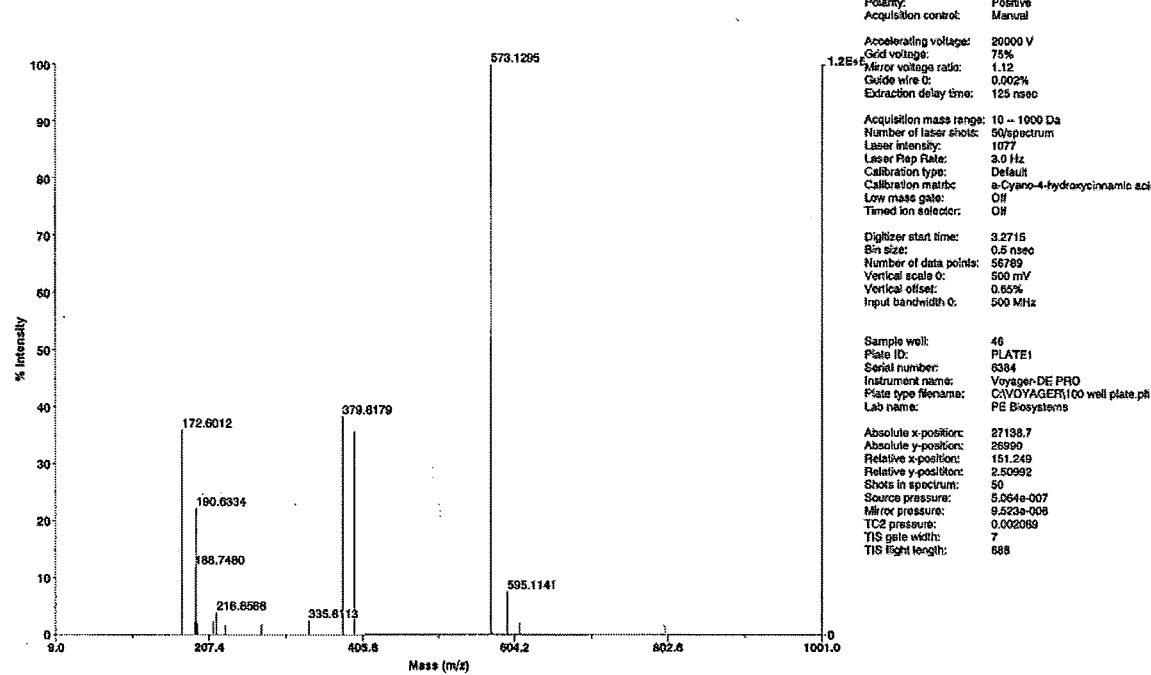


Fig. 2-6-19 化合物 8 の MS スペクトル

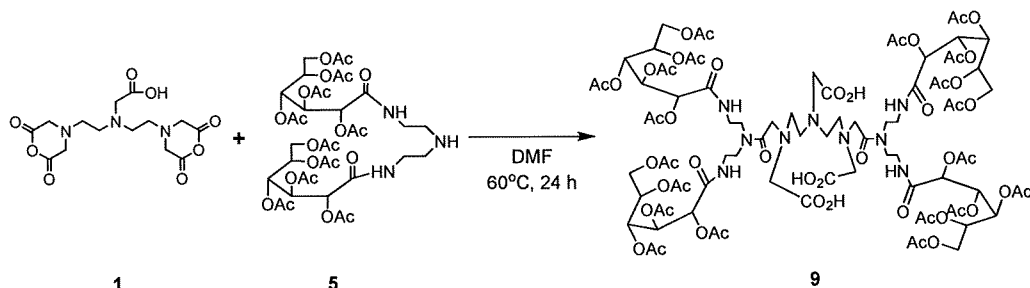
Fig. 2-6-18 の ^1H -NMR スペクトルより 4.47-5.37 ppm にヒドロキシル基由来のピークを確認し、そのプロトン数とメチンおよびメチレンのプロトン数を比較した。Fig.

2-6-19 の MS スペクトルより $573.12 [M+H]^+$ のピークを確認した。以上から化合物 **8** の構造を同定した。

2-6-2-3 リガンド (Ligand) の合成

2-6-2-1において合成したコア部の DTPA dianhydride **1** に対して 2-6-2-2において合成した末端部を **2** 当量反応させることでリガンドの合成を行なった。また、末端部として糖以外にアミノ酸を用いたリガンドの合成方法が報告されている⁴⁰⁾。末端部を構成するスペーサーは主にトリアミンを用いていたが、分子の回転を抑制するために芳香環をスペーサーにすることを考えた。本研究では糖との結合は行っていないが Gd 錯体まで誘導しその性能を他の Gd 錯体と比較することとした。以下に各反応の詳細について述べる。

DTPA-DETA-D2-4Glc(OAc) **9**



Scheme 2-6-08 DTPA-DETA-D2-4Glc(OAc) **9**

DMF 中、 40°C で DTPA dianhydride **1** に対して DETA-2Glc(OAc) **5** を 2 当量反応させることで DTPA-DETA-D2-4Glc(OAc) **9** を収率 84% で合成した。化合物 **9** は再結晶 (イソプロパノール) による単離精製を行なった。

以下に化合物 **9** の $^1\text{H-NMR}$ スペクトル (Fig. 2-6-20)、MS スペクトル (Fig. 2-6-21)、IR スペクトル (Fig. 2-6-22) のデータを示す。

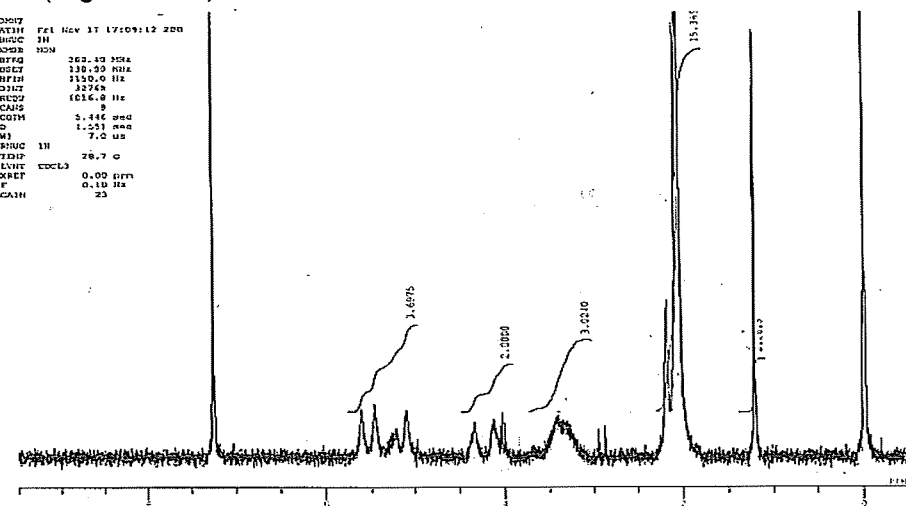


Fig. 2-6-20 化合物 **9** の $^1\text{H-NMR}$ スペクトル

Applied Biosystems Voyager System 6384

Voyager Spec #1=>BC=>AdvBC(32,0.5,0.1)=>NF0.7=>DI[BP = 2113.0, 83295]

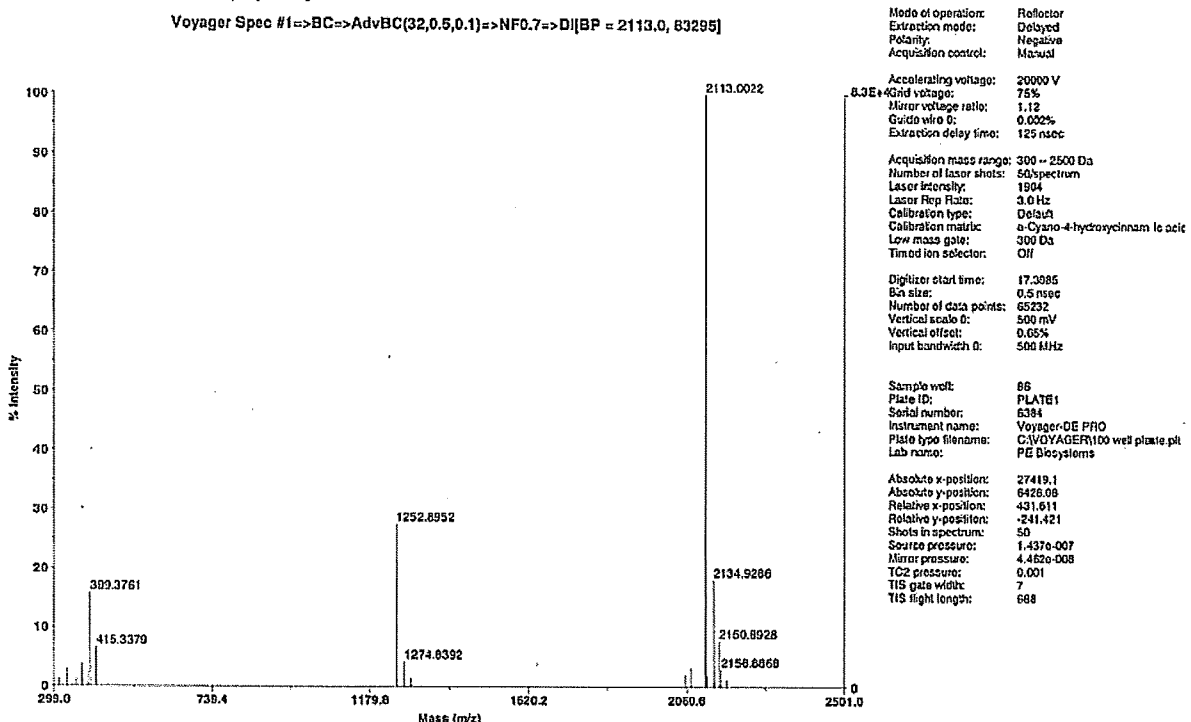


Fig. 2-6-21 化合物 9 の MS スペクトル

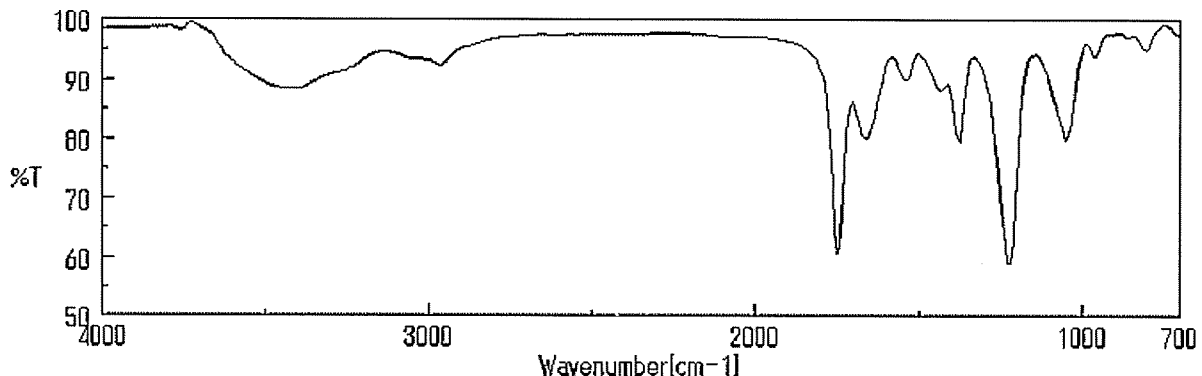
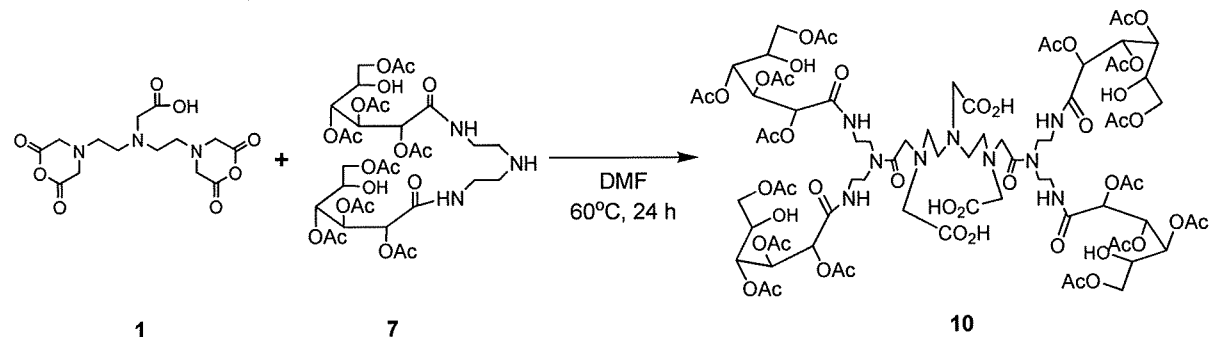


Fig. 2-6-22 化合物 9 の IR スペクトル

Fig. 2-6-20 の $^1\text{H-NMR}$ スペクトルより 2.05-2.28 ppm にアセチル基由来のピークを確認し、そのプロトン数とメチンおよびメチレンのプロトン数を比較した。Fig. 2-6-21 の MS スペクトルより 2113.00 [M-3H] $^{+}$ のピークを確認した。Fig. 2-6-22 の IR スペクトルより 1751 cm^{-1} に C=O 伸縮による吸収と 1226 cm^{-1} に C-O 伸縮による吸収を示すことからエステルの存在を、 1666 cm^{-1} に C=O 伸縮による吸収と 1542 cm^{-1} に N-H 変角による吸収を示すことからアミド基の存在をそれぞれ確認した。以上から化合物 9 の構造を同定した。

DTPA-DETA-2Glc(4OAc)(1OH) 10



Scheme 2-6-09 DTPA-DETA-D2-4Glc(4OAc)(1OH) 10

DMF 中、 60°C で DTPA dianhydride 1 に対して DETA-2Glc(4OAc)(1OH) 7 を 2 当量反応させることで DTPA-DETA-D2-4Glc(4OAc)(1OH) 10 を収率 74% で合成した。化合物 10 は再結晶 (イソプロパノール) による単離精製を行なった。

以下に化合物 10 の $^1\text{H-NMR}$ スペクトル (Fig. 2-6-23)、MS スペクトル (Fig. 2-6-24)、IR スペクトル (Fig. 2-6-25) のデータを示す。

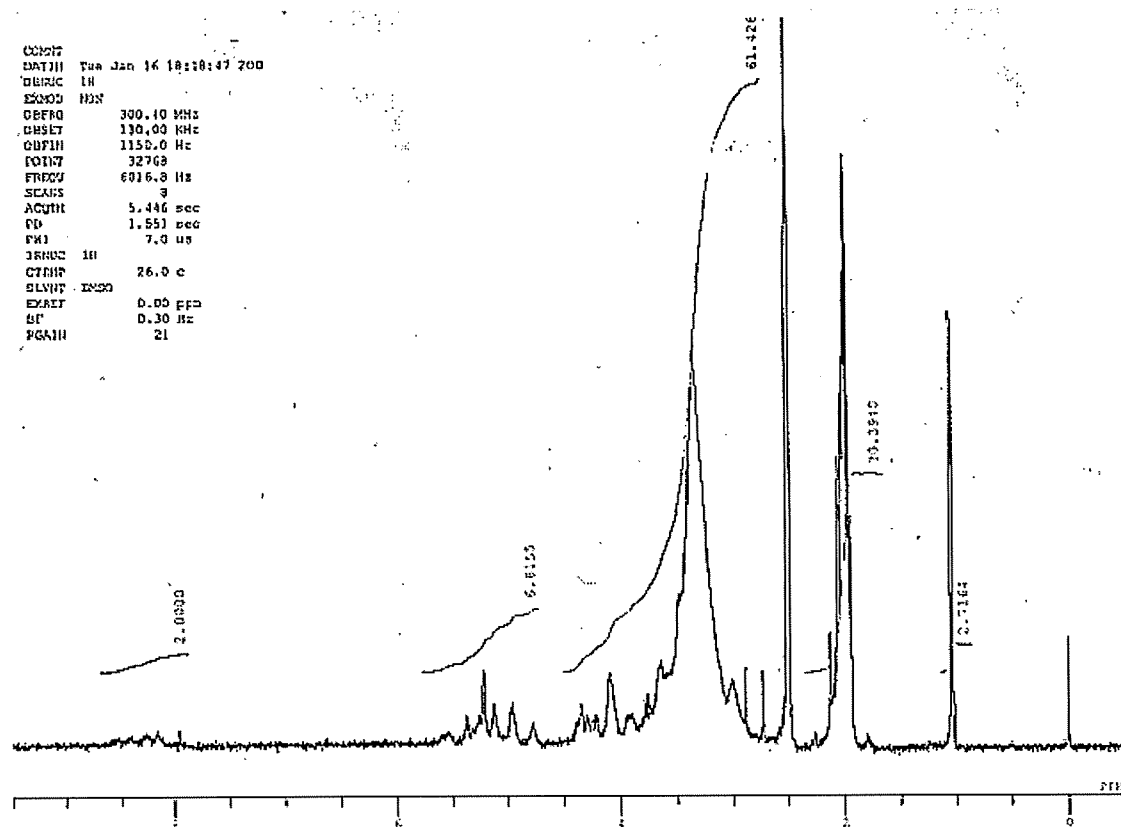


Fig. 2-6-23 化合物 10 の $^1\text{H-NMR}$ スペクトル

Applied Biosystems Voyager System 6384

Voyager Spec #1=>BC=>AdvBC(32,0.5,0.1)=>NF0.7=>DI[BP = 399.5, 40260]

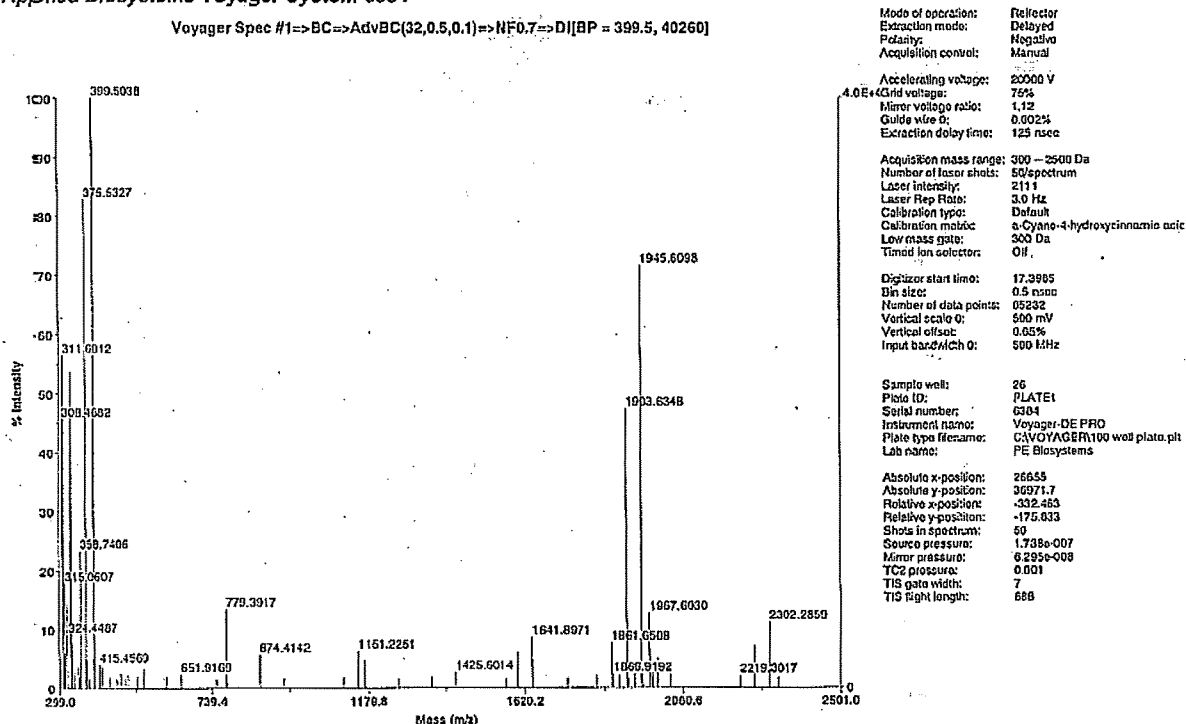


Fig. 2-6-24 化合物 10 の MS スペクトル

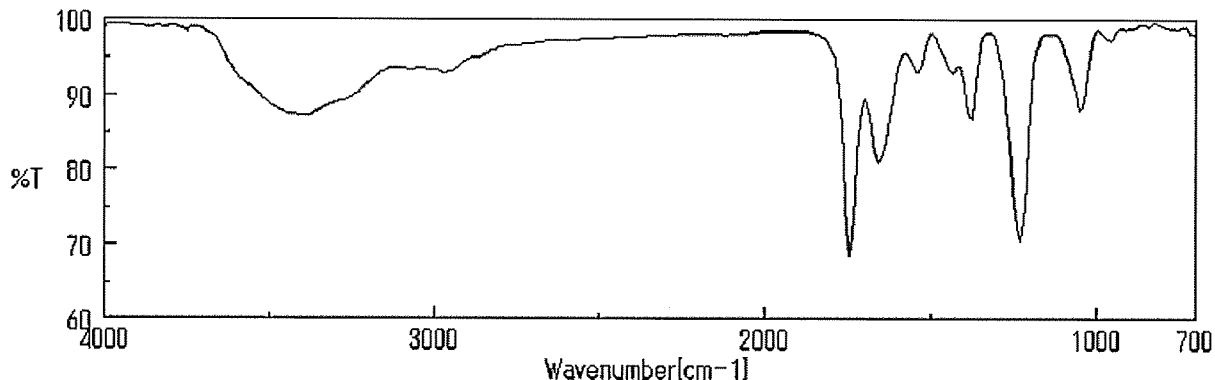
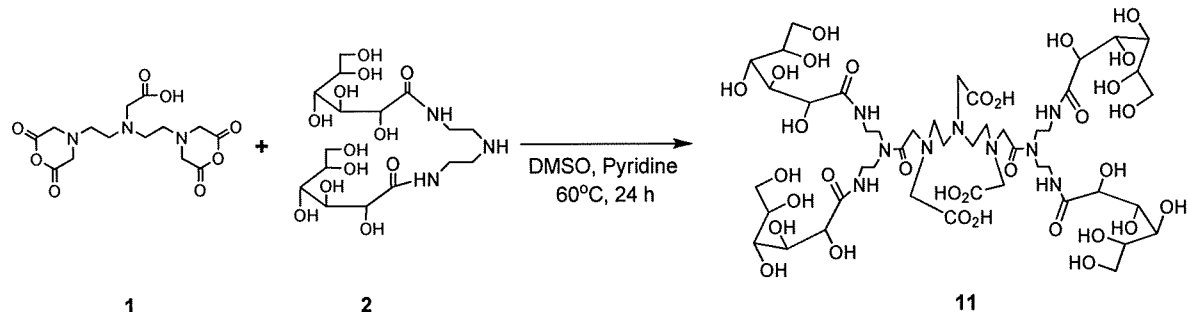


Fig. 2-6-25 化合物 10 の IR スペクトル

Fig. 2-6-23 の ¹H-NMR スペクトルより 1.97-2.13 ppm にアセチル基由来のピークを、3.00-3.84 ppm にヒドロキシル基由来のピークをそれぞれ確認し、それらのプロトン数とメチンおよびメチレンのプロトン数を比較した。ここで、ヒドロキシル基由来のピークは D₂O 置換することで確認した。Fig. 2-6-24 の MS スペクトルより 1945.61 [M-3H]⁻ のピークを確認した。Fig. 2-6-25 の IR スペクトルより 3440 cm⁻¹ に O-H 伸縮による吸収を示すことからヒドロキシル基の存在を、1743 cm⁻¹ に C=O 伸縮による吸収と 1226 cm⁻¹ に C-O 伸縮による吸収を示すことからエステルの存在を、1658 cm⁻¹ に C=O 伸縮による吸収と 1542 cm⁻¹ に N-H 変角による吸収を示すことからアミド基の存在をそれぞれ確認した。以上から化合物 10 の構造を同定した。

DTPA-DETA-D2-4Glc(OH) 11



Scheme 2-6-10 DTPA-DETA-D2-4Glc(OH) 11

DMSO 中、ピリジン触媒下、 60°C で 2 当量の DETA-2Glc(OH) 2 に対して DTPA dianhydride 1 を 1.2 当量反応させることで DTPA-DETA-D2-4Glc(OH) 11 と DTPA の混合物を粗収率 97%で合成した。

※DTPA-DETA-D2-4Glc(OH) 11 が 1 当量に対して DTPA が 0.2 当量含まれていると仮定して粗収率を算出した。

以下に化合物 11 の $^1\text{H-NMR}$ スペクトル (Fig. 2-6-26)、MS スペクトル (Fig. 2-6-27) のデータを示す。

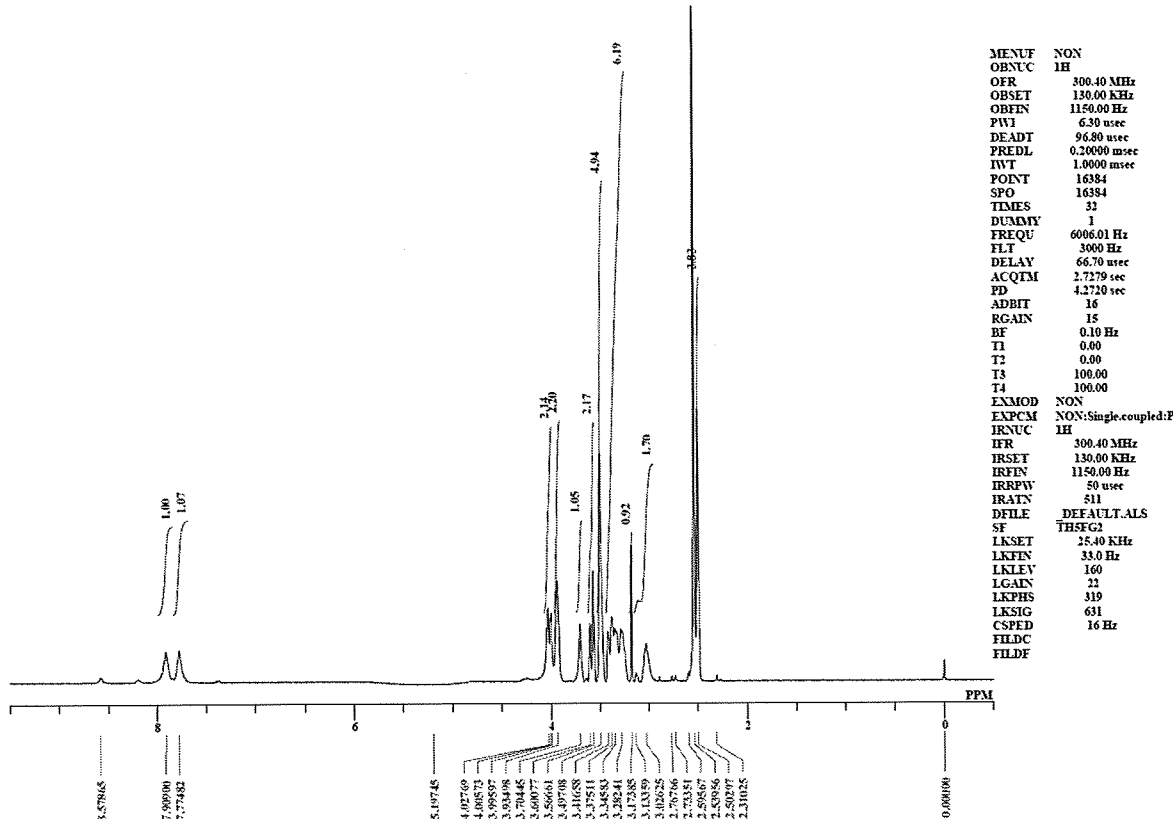


Fig. 2-6-26 化合物 11 の $^1\text{H-NMR}$ スペクトル

Applied Biosystems Voyager System 6384

Voyager Spec #1=>AdvBC(32,0.5,0.1)=>NF0.7=>DI[BP = 1275.0, 46843]

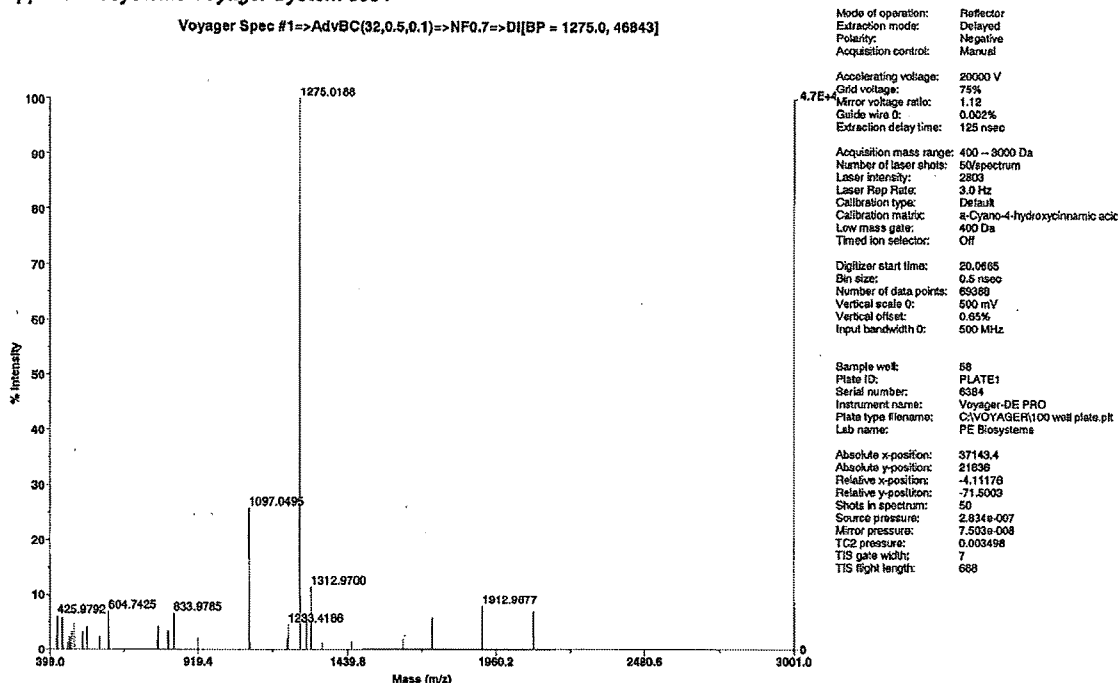
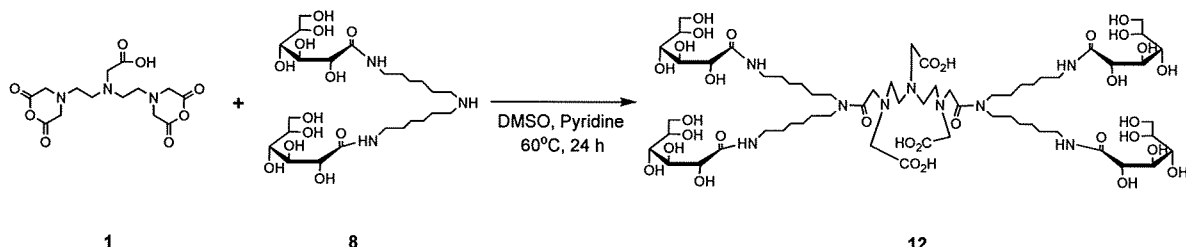


Fig. 2-6-27 化合物 11 の MS スペクトル

Fig. 2-6-26 の $^1\text{H-NMR}$ スペクトルより 3.57-4.03 ppm にヒドロキシル基由来のピークを確認し、それらのプロトン数とメチンおよびメチレンのプロトン数を比較した。Fig. 2-6-27 の MS スペクトルより 1274.54 [M-3H] $^-$ のピークを確認した。以上から化合物 11 の構造を同定した。

DTPA-HMTA-D2-4Glc(OH) 12



Scheme 2-6-11 DTPA-HMTA-D2-4Glc(OH) 12

DMSO 中、ピリジン触媒下、60°C で 2 当量の HMTA-2Glc(OH) 8 に対して DTPA dianhydride 1 を 1.2 当量反応させることで DTPA-HMTA-D2-4Glc(OH) 12 と DTPA の混合物を粗収率 76% で合成した。

※DTPA-HMTA-D2-4Glc(OH) 12 が 1 当量に対して DTPA が 0.2 当量含まれていると仮定して粗収率を算出した。

以下に化合物 12 の $^1\text{H-NMR}$ スペクトル (Fig. 2-6-28)、MS スペクトル (Fig. 2-6-29) のデータを示す。